

## II-43 貯水池における浮遊砂の堆砂に関する実験的研究

京大防災研究所 正員 工博 矢野勝正  
 建設省 分工博 芦田和男  
 設計課 分工修○前田武志

1. はじめに。浮遊流砂による貯水池の堆砂現象は流入土砂の粒度特性、濃度分布特性、貯水池の水理特性の相互関係に依存し、非常に複雑な変化をする。著者らはこうした問題を解明するための第一歩として、浮遊砂と掃流砂とが混在しているような場合について実験的研究を行ない、堆砂形状、浮遊砂の濃度分布、浮遊砂および河床砂の粒度構成などの測定値にもとづいて堆砂機構について考察を加えた。さらに貯水池における濃度分布基礎式と浮遊流砂と河床変動の連続式を導いた。実験結果を参考して、堆砂形状の時間的変化を求める一般式をえた。ここでは実験結果を中心に説明する。

2. 実験装置および方法。実験水路は幅20cm、長さ18mの長方形断面水路でその概要は図-1のようである。水路上流端から所定の流量および給砂量で通水および給砂を行ない、各測点で各時間に下記の事項について測定した。  
 i) 堆砂形状、ii) 濃度分布、iii) 浮遊砂および河床砂の粒度構成。  
 なお使用砂は比重2.67  $d_{10} = 0.063\text{mm}$  の珪砂である。また粒度構成はV.A.-Tubeを用いた沈降速度分析によつて表わした。

3. 実験結果とその考察。図-1に示すように堆砂形状にはこう配急変点を生じ、この点を境に堆砂形状は二つの領域に分かれた。こう配急変点より上流の河床には砂連が発達し、急変点より下流に行くにつれて砂連は急激に減少してゆき下流で全く消滅する。このことは急変点より上流では比較的粗い粒子が沈降して掃流形式で輸送され、一方急変点より下流とくに砂連の消滅する点より下流では浮遊砂の沈降堆積領域であると考えられる。このようなこう配急変点すなむろ砂堆の肩の運動についてはいくつかの研究があるが、均一な粗い粒子を用いた実験が多く、実際の貯水池における現象とはかけはなれた条件で行なつてきただよと思われる。

一方本実験においても上に述べたようこう配急変点が現われ、進行していくことか認められた。急変点上の水深はほぼ一定に保たれており、矢野らによると、与えられた流量と流砂量に対する等流水深  $h_r$  に近く、また急変点よりやや下流で砂連の消滅するあたりで限界移動水深  $h_c$  になっているものと考えられる。そして図-1よりわかるように急変点の進行速度は一定である。このような現象は急変点が貯水池の埋没において掃流流砂と浮遊流砂の境界点であることがうなづけられ、两者を結合した形で考えていかなければならぬ。後述するように急変点上では浮遊砂は平衡状態にあり、掃流流砂は一定であ

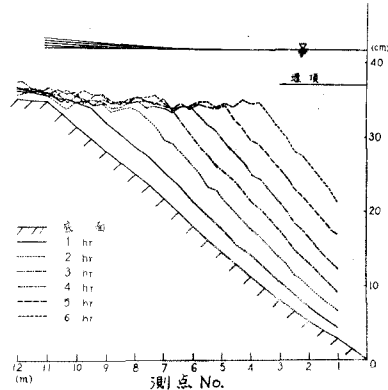


図-1 堆砂形状の時間的変化

一方限界移動水深の点では揚流流砂は零となり浮遊砂による堆積量はある値を持つ。右ゆえ  $h_k$  より深い所では浮遊砂の堆積によって河床が形成され、また  $h_k \sim h_0$  の間では中流流砂と浮遊流砂によるものか堆積していく。したがって  $h_k \sim h_0$  の間に堆積する単位時間当たりの浮遊砂量が一定であれば、急変点の進行速度も一定となるであろう。こう配急変点をもじ濃度分布および粒度分布にも顕著な差異がみられる。こう配急変点においては i) 濃度分布は図-2 のよう  $\delta C \propto h^{1/2} - 1$  ( $\delta C$ : 浮遊砂の比重,  $h$ : 水深,  $z$ : 河床からの高さ,  $C$ : 濃度) の間に両対数で線関係があり、Rouse の与えた平衡状態の濃度分布式と同じであり、濃度分布が平衡状態であることがわかる。しかも各時刻を通じて急変点上の濃度分布は等しい。ii) 粒度分布も急変点では等しく、その正方向の変化もない。急変点より下流の浮遊砂の堆積領域においては i) 図-3 に示すように河床付近の粒度の厚さをもたらす濃度分布が一定、すなわち  $\delta G_{\text{fl}} = 0$  の層が存在する。ii) この層内では粒度分布も正方向に変化しない。iii) こうの事実よりこの層では乱れが減衰し沈降が一方的に生じあり、 $w_f$  なる沈降速度を持つ粒子の濃度を  $C_f$  とすれば、 $w_f$  の粒子は  $w_f C_f$  で沈降堆積する。すなわち、濃度一定の層における浮遊砂の粒度分布および河床砂のそれを、それぞれ  $f_w(w)$ ,  $f_b(w)$  とすれば  $w_f f_w(w) \propto f_b(w)$  の関係が成立すると考えられる。いまこの間に従つて浮遊砂の粒度分布から河床砂の粒度分布を推定し結果は実測値とかなりよく一致しており、上の考え方の妥当性を知ることができた。さらに河床付近の一定濃度  $C_0$  を規定する関係式を実験値から検討する。浮遊砂および河床砂の累加分率で表わした粒度分布を  $F(w)$ ,  $G(w)$  とし、これらと河床付近濃度  $C_0$  から沈降速度別別の濃度  $C_f$  と、 $w_f$  なる粒子が河床に出される割合  $dG(w)$  を求める。このようにして  $w_f$  と  $C_f/dG(w)$  の関係をプロットしたのが図-4 である。図中の曲線は Kalinske の平衡条件の曲線であり、これより上は沈降の領域、下は洗掘の領域である。No.1, No.25, No.4 は急変点より下流にあり、図よりこれらは沈降の領域にあり、 $w_f$  が大きければ平衡の曲線からはずれ、沈降が著しいことがわかる。No.8 は急変点にあたり平衡条件曲線とは一致していない。これはこの曲線自身中を持つものであり、 $U_0$  の計算に用いた資料にかなりの測定誤差が見込まれるからである。以上により  $C_0$  を規定するものとして上流側急変点の濃度、粒度構成、 $U_0/w_0$  を考えられたが、急変点上ではたゞ平衡条件を満足したり、粒度構成もそれほど混合粒径の特性を現わさないことを考慮され、 $U_0/w_0$  が最も重要な要素であると考えられる。実験値について  $C_0$  と  $U_0/w_0$  の関係を調べると  $C_0 \propto (U_0/w_0)^n$  ( $n: \text{const.}$ ) の関係が成立するようである。しかし  $C_0$  の変化をこうしようと定めることはその場合の堆積状況を決定づける重要なことなので、さらに広範囲についてこのような関係が成立するかうか検討していく必要がある。

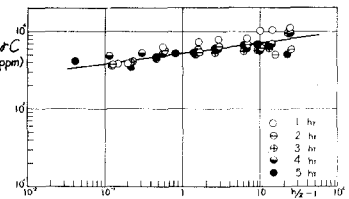


図-2 各時間の急変点の濃度分布

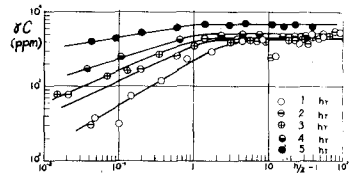


図-3 測点No.4の各時間の濃度分布

